

MiR-382 对 $\gamma\delta$ T 细胞杀伤肺癌细胞活性的影响及机制研究

李杰(宁波市第二医院胸外科,浙江 宁波 315010)

摘要: 目的 探讨 $\gamma\delta$ T 细胞对肺癌细胞系 A549 的杀伤活性,并研究 miR-382 在其中发挥的作用。方法 采用流式细胞术鉴别 $\gamma\delta$ T 细胞 LDH 释放实验检测 $\gamma\delta$ T 细胞和 miR-382 对 A549 的杀伤活性。荧光定量 PCR 检测 miR-382 在肺癌细胞系 A549 中的表达情况,Western blot 法检测 miR-382 对 c-FLIP 表达的影响。Western blot 试验检测 miR-382 及 $\gamma\delta$ T 细胞处理后 A549 细胞 Smac/DIABLO 和细胞色素 C 的释放及 caspase-8、caspase-9 和 caspase-3 的活化。结果 miR-382 处理能显著增强 $\gamma\delta$ T 细胞对 A549 的杀伤活性,增强 $\gamma\delta$ T 细胞对 A549 细胞 caspase-8、caspase-9 和 caspase-3 的活化及细胞色素 C 和 Smac/DIABLO 的释放,下调 A549 细胞中 c-FLIP 蛋白的表达。转染 c-FLIP 质粒能显著抑制 miR-382 对 $\gamma\delta$ T 细胞的协同效应。结论 MiR-382 通过下调肺癌细胞中 c-FLIP 的表达来增强 $\gamma\delta$ T 细胞对其的杀伤活性。

关键词: MiR-382; c-FLIP; $\gamma\delta$ T 细胞; 肺癌; caspase-8

中图分类号: R965.2 **文献标志码:** A **文章编号:** 1007-7693(2018)01-0024-05

DOI: 10.13748/j.cnki.issn1007-7693.2018.01.005

引用本文: 李杰. MiR-382 下调肺癌细胞中 c-FLIP 的表达增强 $\gamma\delta$ T 细胞对其的杀伤活性[J]. 中国现代应用药学, 2018, 35(1): 24-28.

Effect and Mechanism of MiR-382 on Cytotoxicity of $\gamma\delta$ T Cells to Lung Cancer

LI Jie(Department of Thoracic Surgery, Ningbo NO.2 Hospital, Ningbo 315010, China)

ABSTRACT: OBJECTIVE To investigate the effect of miR-382 on regulating the cytotoxicity of $\gamma\delta$ T cells to lung cancer cell line A549. **METHODS** $\gamma\delta$ T cells amplified *in vitro* were identified by flow cytometry. LDH release assays were performed to detect the cytotoxicity of $\gamma\delta$ T cells and miR-382 to A549. RT-qPCR assays were performed to detect the expression of miR-382 in lung cancer tissues and A549 cell line. Bioinformatics and Western blot analysis were used to determine whether the expression of c-FLIP was regulated by miR-382. Western blot assays were performed to evaluate the release of Smac/DIABLO and cytochrome C and the activation of caspase-8, caspase-9 and caspase-3. **RESULTS** MiR-382 significantly enhanced the cytotoxicity of $\gamma\delta$ T cells to A549. Furthermore, miR-382 enhanced the activation of caspase-8, caspase-9, caspase-3 and release of cytochrome C and Smac/DIABLO induced by $\gamma\delta$ T cells in A549 cells. In addition, transfection with miR-382 downregulated the expression of c-FLIP. Meanwhile, transfection with miR-382 abolished the synergistic effect of miR-382 on $\gamma\delta$ T cells. **CONCLUSION** MiR-382 enhances cytotoxicity of $\gamma\delta$ T cells to lung cancer through downregulating the expression of c-FLIP.

KEY WORDS: miR-382; c-FLIP; $\gamma\delta$ T cells; lung cancer; caspase-8

肺癌是世界上发病率最高的恶性肿瘤,患者预后差,5年生存率较低^[1]。对于早期肺癌,手术治疗是最有效的治疗手段,然而很大一部分患者在确诊肺癌时已发生转移,对于这些患者而言,化疗或免疫治疗是不可缺少的替代治疗手段^[2-3]。在肿瘤的免疫治疗中,以免疫效应细胞为主体的治疗方法已经开始进行临床试验^[4]。 $\gamma\delta$ T 细胞是 T 细胞的一个功能性亚群,其表面的 T 细胞受体由 $\gamma\delta$ 肽链组成。研究发现 $\gamma\delta$ T 细胞是一群效应性 T 细胞,能直接杀伤肿瘤细胞而不依赖于 MHC 分子的抗原提呈,因此 $\gamma\delta$ T 细胞被认为有良好的抗肿瘤作用^[5],通过一些辅助治疗以提高肿瘤细胞对 $\gamma\delta$ T 细

胞的敏感性有十分重要的临床意义。

microRNAs(miRNAs)是一组非编码 RNA 寡聚核苷酸,由 18~25 个核苷酸构成,且其序列具有高度保守性。miRNAs 通过与目标 mRNA 的 3'-非翻译区(3'-untranslated region, 3' UTR)发生互补配对从而抑制 mRNA 的翻译,因此 miRNAs 能调控目标基因的蛋白的表达水平^[6]。文献报道 miRNAs 在肿瘤细胞中表达失调,而 miRNAs 表达谱的改变往往促进肿瘤细胞的增殖和转移。另外,文献也报道 miRNAs 表达的失调能导致肿瘤细胞对化疗的抵抗^[7-8]。然而,miRNAs 在肿瘤免疫治疗中发挥的作用至今仍不十分清楚,本研究的目的在

作者简介: 李杰,男,硕士,副主任医师 Tel: (0574)83871083

E-mail: ningbolijie2@sina.com

于探讨 $\gamma\delta$ T细胞对肺癌细胞系A549的杀伤活性并研究miR-382在其中发挥的作用。

1 材料

1.1 患者资料

收集20例2014年3月—2016年7月肺癌患者的肿瘤组织及癌旁正常组织，患者年龄33~74岁(平均年龄51.2岁)。标本的使用取得患者的知情同意。

1.2 细胞培养

人肺癌细胞系A549(美国ATCC)。细胞培养在含10%胎牛血清的DMEM培养基中，培养环境为37℃恒温培养箱，并通入5%CO₂。人 $\gamma\delta$ T细胞的体外扩增培养按文献所述进行^[9]，取15例健康人的全血，采取密度梯度离心法获取单个核细胞，并培养在含10%胎牛血清的DMEM培养基中，加入3 μmol·L⁻¹ $\gamma\delta$ T细胞特异性扩增剂BrHPP和每毫升400单位的IL-2培养14 d。

1.3 试剂

乳酸脱氢酶检测试剂盒(批号：C0016)和线粒体分离试剂盒(批号：C3601)购于江苏碧云天生物技术有限公司。DMEM培养基(美国Gibco，批号：11995040)；c-FLIP(批号：#8510)、cleaved caspase-8(批号：#9496)、cleaved caspase-9(批号：#20750)、cleaved caspase-3(批号：#9661)、细胞色素C(批号：#11940)、Smac/DIABLO(批号：#15108)和GAPDH(批号：#5174)抗体均购于美国Cell Signaling。ECL试剂盒(美国Pierce，批号：32106)。Trizol试剂(批号：15596018)、pcDNA3.1质粒(批号：V79020)和脂质体2000(Lipofectamine 2000)(批号：11668019)均购于美国Invitrogen公司。白细胞介素2(IL-2，批号：P60568)、TRAIL中和抗体(批号：AF347)和FasL中和抗体(批号：MAB126)均购于美国R&D system公司。 $\gamma\delta$ TCR-PE流式细胞抗体(批号：562511)和CD3-FITC流式细胞抗体(批号：558261)购于美国BD Bioscience公司。miR-382(5'-AAUCAUUCACGGACAACACUU-3')和对照寡聚核苷酸(NCO，5'-UUCAACACACCAAGGUUAAC-3')购于上海吉玛生物科技有限公司。SYBR Green试剂(批号：RR820A)购于大连TaKaRa。PCR引物由上海生工生物工程有限公司合成。

2 方法

2.1 $\gamma\delta$ T细胞的鉴别

培养的 $\gamma\delta$ T细胞用带PE荧光标记的 $\gamma\delta$ TCR流式细胞抗体和带FITC荧光标记的CD3流式细胞

抗体孵育20 min，用生理盐水将细胞清洗3次后用流式细胞仪进行检测，CD3和 $\gamma\delta$ TCR双阳性细胞即为 $\gamma\delta$ T细胞。

2.2 荧光定量PCR检测miR-382的表达

患者组织细胞及A549细胞总RNA用Trizol试剂提取。采用茎环RT-qPCR法对miR-382进行特异性逆转录，并用SYBR Green试剂对逆转录产物进行PCR扩增，以U6 snRNA作为内参计算miR-382的相对表达水平^[10]。

2.3 c-FLIP过表达质粒构建和转染

将c-FLIP基因的开放阅读框架序列经PCR扩增后以分子克隆的方法与pcDNA3.1连接后构建成c-FLIP重组过表达质粒。c-FLIP过表达质粒用Lipofectamine 2000按试剂操作说明书步骤进行转染，将2 μg·mL⁻¹ c-FLIP表达质粒转染入A549细胞中。

2.4 线粒体分离去除

用线粒体分离试剂盒按试剂说明书步骤将处理后的A549细胞的线粒体从细胞质中分离出来，取无线粒体的细胞质进行后续的Western blot试验。

2.5 乳酸脱氢酶释放实验检测 $\gamma\delta$ T细胞的杀伤活性

按不同的效靶细比(效应 $\gamma\delta$ T细胞数：目标A549靶细胞数，E:T)将A549细胞和 $\gamma\delta$ T细胞用transwell小室进行共培养，12 h后用乳酸脱氢酶检测试剂盒按说明书步骤检测A549细胞乳酸脱氢酶(LDH)的释放，LDH释放水平越高则表示 $\gamma\delta$ T细胞对A549细胞的杀伤活性越强。A549杀伤率用以下公式表示：A549杀伤率=[(OD_{实验组}-OD_{对照组})/(OD_{细胞LDH最大释放}-OD_{对照组})]×100%。

2.6 乳酸脱氢酶释放实验检测miR-382对 $\gamma\delta$ T细胞杀伤活性的影响

将A549细胞接种在transwell小室中，按照实验设计将50 pmol·mL⁻¹的NCO或miR-382及2 μg·mL⁻¹的c-FLIP质粒用Lipofectamine 2000试剂转染入A549细胞中，培养24 h，然后更换新鲜培养基加入E:T为2.5:1的 $\gamma\delta$ T细胞继续共培养12 h。 $\gamma\delta$ T细胞和A549共培养完成后，按“2.5”项下方法进行LDH释放实验检测miR-382对 $\gamma\delta$ T细胞杀伤活性的影响。

2.7 Western blot试验

将A549细胞接种在transwell小室中，按照实验设计将50 pmol·mL⁻¹的NCO或miR-382及2 μg·mL⁻¹的c-FLIP质粒用Lipofectamine 2000试剂转染入A549细胞中，培养24 h，然后更换新鲜

培养基加入 E : T 为 2.5 : 1 的 $\gamma\delta$ T 细胞继续共培养 12 h。细胞处理完毕后用蛋白提取液提取 A549 细胞中的总蛋白质。将等量的总蛋白质用 12.5% SDS-PAGE 进行电泳分离。分离完毕后通过电转方法将蛋白质从分离胶上转到 PVDF 膜上，用 c-FLIP、cleaved caspase-8、cleaved caspase-9、cleaved caspase-3、细胞色素 C、Smac/DIABLO 和 GAPDH 抗体孵育过夜，之后再用带辣根过氧化物酶的二抗孵育 2 h，蛋白条带用 ECL 试剂盒显色发光，并用 Image J 软件处理计算灰度值。目标蛋白相对表达水平=灰度值_{目标蛋白}/灰度值_{GAPDH}。

2.8 统计学处理

所有实验重复 3 次，实验数据用 $\bar{x} \pm s$ 表示，并用 SPSS 14.0 统计分析软件进行处理，统计学方法采用单因素方差分析 (one-way ANOVA) 进行处理， $P < 0.05$ 认为有显著性差异。

3 结果

3.1 miR-382 增强 $\gamma\delta$ T 细胞对 A549 细胞的杀伤活性

流式细胞术进行鉴定结果发现，培养得到的 $\gamma\delta$ T 细胞高表达 CD3 和 $\gamma\delta$ TCR，纯度为 95.3%，见图 1A。将这些 $\gamma\delta$ T 细胞和 A549 细胞按不同的效靶比(E : T)进行共培养，LDH 释放实验结果显示 $\gamma\delta$ T 细胞对 A549 细胞有杀伤活性，且 E : T 越高， $\gamma\delta$ T 细胞的抗肺癌活性越强，见图 1B。RT-qPCR 实验结果显示肺癌组织及 A549 肺癌细胞系的 miR-382 表达水平显著低于正常组织，见图 1C，表明 miR-382 在肺癌中可能起肿瘤抑制作用。LDH 释放实验结果显示转染 miR-382 后， $\gamma\delta$ T 细胞对 A549 的杀伤率显著上升，见图 1D，表明 miR-382 能提高 $\gamma\delta$ T 细胞的抗肺癌活性。

3.2 MiR-382 通过抑制 c-FLIP 的表达增强 $\gamma\delta$ T 细胞对 A549 的杀伤活性

miRNA 靶点预测公共数据库 TargetScan (www.targetscan.org) 显示 c-FLIP 基因可能是 miR-382 的靶点，能与 miR-382 发生碱基互补配对，见图 2A。Western blot 试验结果显示肺癌组织细胞和 A549 细胞的 c-FLIP 表达水平显著高于癌旁正常组织，见图 2B，提示 miR-382 和 c-FLIP 存在负相关关系。为了明确 miR-382 调控 c-FLIP 的表达，在 A549 细胞中转染 miR-382 模拟物，结果显示转染 miR-382 能显著抑制 A549 细胞中 c-FLIP 的表达，见图 2C，表明 c-FLIP 是 miR-382 的靶基因。LDH 释放实验结果显示转染 c-FLIP 过表达质

粒能显著抑制 $\gamma\delta$ T 细胞联合 miR-382 对 A549 的杀伤活性，见图 2D，表明 miR-382 通过抑制 c-FLIP 的表达增强 $\gamma\delta$ T 细胞的抗肺癌活性。

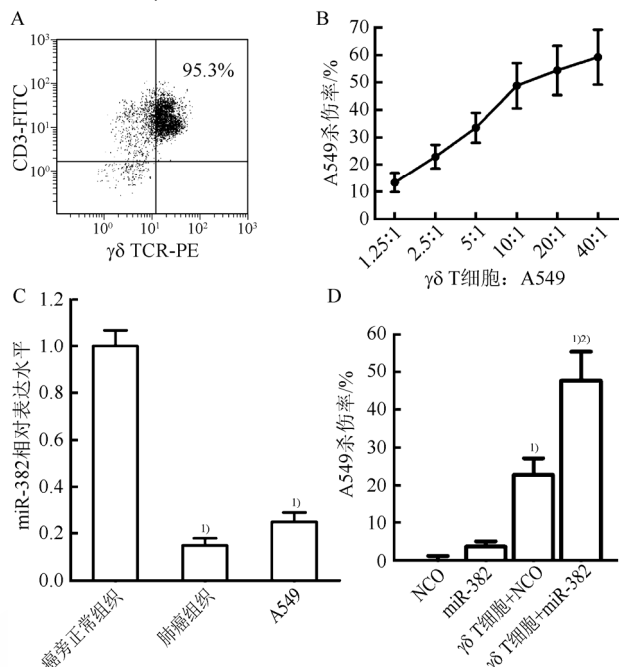


图 1 miR-382 增强 $\gamma\delta$ T 细胞对 A549 细胞的杀伤活性 ($n=3$, $\bar{x} \pm s$)

A-体外扩增培养的 $\gamma\delta$ T 细胞高表达 CD3 和 $\gamma\delta$ TCR；B- $\gamma\delta$ T 细胞对 A549 细胞的杀伤活性；C-肺癌组织细胞及 A549 细胞的 miR-382 表达水平显著低于癌旁正常组织细胞($n=20$, $\bar{x} \pm s$)，与癌旁正常组织相比，^a $P < 0.05$ ；D-转染 miR-382 提高 $\gamma\delta$ T 细胞对 A549 的杀伤活性，与 NCO 组相比，^a $P < 0.05$ ；与 $\gamma\delta$ T 细胞+NCO 组相比，^b $P < 0.05$ 。

Fig. 1 miR-382 enhanced the cytotoxicity of $\gamma\delta$ T cells to A549 ($n=3$, $\bar{x} \pm s$)

A- $\gamma\delta$ T cells amplified *in vitro* highly expressed CD3 and $\gamma\delta$ TCR；B-cytotoxicity of $\gamma\delta$ T cells to A549；C-relative expression of miR-382 in lung cancer tissue cells and A549 cells was significantly higher than that in the normal lung tissue cells($n=20$, $\bar{x} \pm s$)。Compared with lung normal tissue cells, ^a $P < 0.05$. D-transfection with miR-382 increased the cytotoxicity of $\gamma\delta$ T cells to A549. Compared with NCO group, ^a $P < 0.05$; Compared with $\gamma\delta$ T cells + NCO group, ^b $P < 0.05$.

3.3 $\gamma\delta$ T 细胞联合 miR-382 诱导 A549 细胞 caspases 的活化

$\gamma\delta$ T 细胞的抗肿瘤效应主要依赖于其所分泌的 TRAIL 和 FasL 等细胞因子对肿瘤细胞的杀伤^[11]。LDH 释放试验结果显示在 $\gamma\delta$ T 细胞和 A549 共培养体系中加入 TRAIL 中和抗体和 FasL 中和抗体后，miR-382 联合 $\gamma\delta$ T 细胞对 A549 细胞的杀伤活性受到明显抑制，见图 3A，表明 $\gamma\delta$ T 细胞分泌的 TRAIL 和 FasL 是其发挥抗肺癌活性的重要因子。TRAIL 和 FasL 通过激活肿瘤细胞 caspase-8 诱导细胞发生凋亡^[11]，Western blot 试验结果显示 miR-382 能显著增强 $\gamma\delta$ T 细胞对 A549 细胞 caspase-8 的活化，而

转染 c-FLIP 质粒则能抑制 miR-382 的活性, 见图 3B, 表明 miR-382 是通过下调 c-FLIP 的表达促进 $\gamma\delta$ T 细胞依赖的 caspase-8 的活化。同时, Western blot 试验结果也显示 miR-382 能显著促进 $\gamma\delta$ T 细胞依赖的细胞色素 C 和 Smac/DIABLO 从线粒体中释放到细胞质中, 见图 3C, 最终使 A549 细胞发生 caspase-9 和下游 caspase-3 的活化, 见图 3D, 诱导细胞发生凋亡。

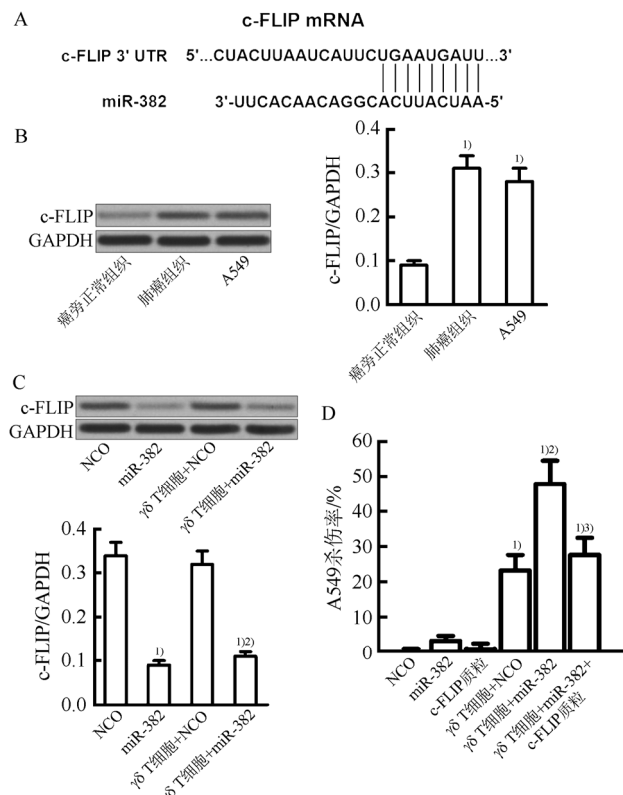


图 2 miR-382 通过抑制 c-FLIP 的表达增强 $\gamma\delta$ T 细胞对 A549 的杀伤活性($n=3$, $\bar{x} \pm s$)

A-TargetScan 公共数据库表明 c-FLIP 可能是 miR-382 的靶点; B-肺癌组织细胞及 A549 细胞的 c-FLIP 表达水平显著高于癌旁正常组织细胞($n=20$, $\bar{x} \pm s$); 与癌旁正常组织相比, ^{1)P<0.05}; C-miR-382 下调 A549 细胞中 c-FLIP 蛋白的表达; 与 NCO 组相比, ^{1)P<0.05}; 与 $\gamma\delta$ T 细胞+NCO 组相比, ^{2)P<0.05}; D-转染 c-FLIP 质粒抑制 miR-382 对 $\gamma\delta$ T 细胞的协同抗肺癌效应; 与 NCO 组相比, ^{1)P<0.05}; 与 $\gamma\delta$ T 细胞+NCO 组相比, ^{2)P<0.05}; 与 $\gamma\delta$ T 细胞+miR-382 组相比, ^{3)P<0.05}。

Fig. 2 miR-382 enhanced the cytotoxicity of $\gamma\delta$ T cells to A549 through suppressing the expression of c-FLIP ($n=3$, $\bar{x} \pm s$)

A-public database of targetscan suggested that c-FLIP was the target of miR-382; B-expression of c-FLIP was significantly higher in lung cancer tissue cells and A549 cells than that in the lung normal tissue cells ($n=20$, $\bar{x} \pm s$); compared with lung normal tissue cells, ^{1)P<0.05}; C-miR-382 decreased the expression of c-FLIP in A549 cells; compared with NCO group, ^{1)P<0.05}; compared with $\gamma\delta$ T cells+NCO group, ^{2)P<0.05}; D-transfection with c-FLIP plasmid inhibited synergistic effect of miR-382 on promoting the cytotoxicity of $\gamma\delta$ T cells to lung cancer; compared with NCO group, ^{1)P<0.05}; compared with $\gamma\delta$ T cells + NCO group, ^{2)P<0.05}; compared with $\gamma\delta$ T cells + miR-382 group, ^{3)P<0.05}。

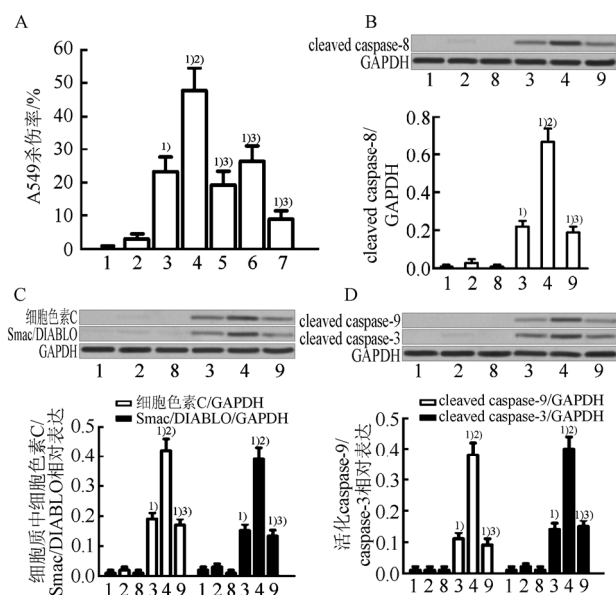


图 3 $\gamma\delta$ T 细胞联合 miR-382 诱导 A549 细胞 caspases 的活化($n=3$, $\bar{x} \pm s$)

A-TRAIL 和 FasL 中和抗体抑制 miR-382 联合 $\gamma\delta$ T 细胞对 A549 细胞的杀伤活性; B-miR-382 促进 $\gamma\delta$ T 细胞对 A549 细胞 caspase-8 的活化; C-miR-382 促进 $\gamma\delta$ T 细胞对 A549 细胞 Smac/DIABLO 和细胞色素 C 的释放; D-miR-382 促进 $\gamma\delta$ T 细胞对 A549 细胞 caspase-9 和 caspase-3 的活化; 1-NCO; 2-miR-382; 3- $\gamma\delta$ T 细胞+NCO; 4- $\gamma\delta$ T 细胞+miR-382; 5- $\gamma\delta$ T 细胞+miR-382+TRAIL 抗体; 6- $\gamma\delta$ T 细胞+miR-382+FasL 抗体; 7- $\gamma\delta$ T 细胞+miR-382+TRAIL 抗体+FasL 抗体; 8-c-FLIP 质粒; 9- $\gamma\delta$ T 细胞+miR-382+c-FLIP 质粒; 与 NCO 组相比, ^{1)P<0.05}; 与 $\gamma\delta$ T 细胞+NCO 组相比, ^{2)P<0.05}; 与 $\gamma\delta$ T 细胞+miR-382 组相比, ^{3)P<0.05}。

Fig. 3 Combination with miR-382 and $\gamma\delta$ T cells induced activation of caspases in A549 cells ($n=3$, $\bar{x} \pm s$)

A-TRAIL 和 FasL 中和抗体抑制 miR-382 联合 $\gamma\delta$ T 细胞对 A549 细胞的杀伤活性; B-miR-382 促进 $\gamma\delta$ T 细胞对 A549 细胞 caspase-8 的活化; C-miR-382 促进 $\gamma\delta$ T 细胞对 A549 细胞 Smac/DIABLO 和细胞色素 C 的释放; D-miR-382 促进 $\gamma\delta$ T 细胞对 A549 细胞 caspase-9 和 caspase-3 的活化; 1-NCO; 2-miR-382; 3- $\gamma\delta$ T 细胞+NCO; 4- $\gamma\delta$ T 细胞+miR-382; 5- $\gamma\delta$ T 细胞+miR-382+TRAIL; 6- $\gamma\delta$ T 细胞+miR-382+FasL; 7- $\gamma\delta$ T 细胞+miR-382+TRAIL+FasL; 8-c-FLIP; 9- $\gamma\delta$ T 细胞+miR-382+c-FLIP; compared with NCO group, ^{1)P<0.05}; compared with $\gamma\delta$ T cells+NCO group, ^{2)P<0.05}; compared with $\gamma\delta$ T cells+miR-382 group, ^{3)P<0.05}.

4 讨论

$\gamma\delta$ T 细胞已被报道对多种肿瘤细胞都有良好的杀伤活性^[12-13], 因此 $\gamma\delta$ T 细胞现已考虑作为一种免疫治疗药物进行临床试验。MiR-382 被报道能抑制包括肺癌在内的多种肿瘤细胞的增殖和转移, 并且 miR-382 也能增强肿瘤细胞对化疗的敏感性, 因此 miR-382 是一种潜在的抗肿瘤辅助药物^[14-17]。然而, miR-382 是否能增强肿瘤细胞对 $\gamma\delta$ T 细胞的治疗敏感性, 至今还未充分报道。在本研究中, 实验结果发现 miR-382 在肺癌细胞中表达水平明显低于肺正常组织细胞, 这与文献报道一致。更

重要的是，当用 miR-382 进行辅助治疗后， $\gamma\delta$ T 细胞对肺癌细胞的杀伤活性显著提高，表明增强肿瘤细胞中 miR-382 的表达水平可能是提高免疫治疗疗效一个新的策略。

c-FLIP 是属于 Bcl-2 蛋白家族的抗凋亡蛋白成员，研究表明 c-FLIP 是 caspase-8 的类似物，能竞争性地抑制 caspase-8 的功能却不具备 caspase-8 的生物活性，因此肿瘤细胞中的 c-FLIP 是 caspase-8 依赖的凋亡途径的抑制蛋白^[18-19]。人类肿瘤细胞中 c-FLIP 往往会发生过表达，这可能是肿瘤细胞对抗凋亡信号的重要机制。通过辅助治疗降低肿瘤细胞中 c-FLIP 的表达水平可以有效提高其对药物治疗的敏感性^[20-21]，因此 c-FLIP 可以作为肿瘤治疗的一个重要靶点。在 $\gamma\delta$ T 细胞介导的凋亡信号通路中，其分泌的凋亡诱导因子 TRAIL 和 FasL 能引起细胞色素 C 和 Smac/DIABLO 等凋亡活性物质从线粒体中释放到细胞质中，从而导致 caspase-9 和 caspase-3 的活化，最终导致凋亡的发生^[22-23]。

在本研究中，实验结果发现 c-FLIP 是 miR-382 的靶基因，当用重组真核表达质粒上调肺癌细胞中 c-FLIP 的蛋白水平后，miR-382 对 $\gamma\delta$ T 细胞的协同抗肿瘤作用受到明显抑制，证明 miR-382 是通过降低肺癌细胞中 c-FLIP 蛋白的表达促进 $\gamma\delta$ T 细胞介导的凋亡。综上所述，本研究证明了 miR-382 能有效提高 $\gamma\delta$ T 细胞对肺癌的杀伤活性，增强 $\gamma\delta$ T 细胞治疗效果。这些研究为肿瘤免疫治疗提供了更有效的策略和思路。

REFERENCES

- [1] SIEGEL R, NAISHADHAM D, JEMAL A. Cancer statistics, 2013 [J]. CA Cancer J Clin, 2013, 63(1): 11-30.
- [2] IMAKITA T, FUJITA K, MIO T, et al. Small cell lung cancer transformation during immunotherapy with nivolumab: A case report [J]. Respir Med Case Rep, 2017(21): 52-55.
- [3] YASUKAWA M, NAKAZAWA T, TANIGUCHI S, et al. Minodronic acid in combination with $\gamma\delta$ T cells induces apoptosis of non-small cell lung carcinoma cell lines [J]. Anticancer Res, 2016, 36(11): 5883-5886.
- [4] DOKOUSHAKI P, SCHUH N W, ZHANG L, et al. NKG2D regulates production of soluble TRAIL by ex vivo expanded human $\gamma\delta$ T cells [J]. Eur J Immunol, 2013, 43(12): 3175-3182.
- [5] LI Z. Potential of human gammadelta T cells for immunotherapy of osteosarcoma [J]. Mol Biol Rep, 2013, 40(1): 427-437.
- [6] AN X, SARMIENTO C, ZHU H, et al. Regulation of multidrug resistance by microRNAs in anti-cancer therapy [J]. Acta Pharm Sin B, 2017, 7(1): 38-51.
- [7] IORIO M V, CROCE C M. MicroRNA involvement in human cancer [J]. Carcinogenesis, 2012, 33(6): 1126-1133.
- [8] YE Z, HAO R, HUANG G, et al. Knockdown of miR-221 promotes the cisplatin-inducing apoptosis by targeting the BIM-Bax/Bak axis in breast cancer [J]. Tumour Biol, 2016, 37(4): 4509-4515.
- [9] GONNERMANN D, OBERG H H, WESCH D, et al. Resistance of cyclooxygenase-2 expressing pancreatic ductal adenocarcinoma cells against $\gamma\delta$ T cell cytotoxicity [J]. Oncoimmunology, 2015, 4(3): e988460.
- [10] XU Y, CUI J H, CHEN C H, et al. Antisense nucleic acids of miR-24 promoted the doxorubicin-induced apoptosis via BIM-Smac/DIABLO pathway in colon cancer [J]. Chin J Mod Appl Pharm(中国现代应用药学), 2016, 33(2): 175-181.
- [11] ZHANG Y P, KONG Q H, CHANG K J, et al. Inhibition of c-FLIP by RNAi enhances sensitivity of the human osteogenic sarcoma cell line U2OS to TRAIL-induced apoptosis [J]. Asian Pac J Cancer Prev, 2015, 16(6): 2251-2256.
- [12] RONG L, LI K, LIU X Y, et al. World J Gastroenterol. Analysis of tumor-infiltrating gamma delta T cells in rectal cancer [J]. 2016, 22(13): 3573-3580.
- [13] PAUL S, LAL G. Regulatory and effector functions of gamma-delta ($\gamma\delta$) T cells and their therapeutic potential in adoptive cellular therapy for cancer [J]. Int J Cancer, 2016, 139(5): 976-985.
- [14] CHEN T, REN H, CHEN M, et al. miR-382 inhibits tumor progression by targeting SETD8 in non-small cell lung cancer [J]. Biomed Pharmacother, 2017(86): 248-253.
- [15] ZHANG W, LIU J, WANG H, et al. MicroRNA-382 inhibits prostate cancer cell proliferation and metastasis through targeting COUP-TFII [J]. Oncol Rep, 2016, 36(6): 3707-3715.
- [16] ZHOU B, SONG J, WANG Y, et al. MiR-382 inhibits cell growth and invasion by targeting NR2F2 in colorectal cancer [J]. Mol Carcinog, 2016, 55(12): 2260-2267.
- [17] XU M, JIN H, WANG Y, et al. miR-382 inhibits tumor growth and enhance chemosensitivity in osteosarcoma [J]. Oncotarget, 2014, 5(19): 9472-9483.
- [18] ZANG F, WEI X, SUN B, et al. C-FLIP(L) contributes to TRAIL resistance in HER2-positive breast cancer [J]. Biochem Biophys Res Commun, 2014, 450(1): 267-273.
- [19] HUANG Y, YANG X, CHANG K J, et al. Overcoming resistance to TRAIL-induced apoptosis in solid tumor cells by simultaneously targeting death receptors, c-FLIP and IAPs [J]. Int J Oncol, 2016, 49(1): 153-163.
- [20] MATTOO AR, ZHANG J, JESSUP J M, et al. Inhibition of NANOG/NANOGP8 down regulates c-FLIP in colorectal cancer cells and enhance the therapeutic efficacy of BH3 mimetics [J]. Clin Cancer Res, 2014, 20(21): 5446-5455.
- [21] LV X Q, QIAO X R, CHEN S Z, et al. Honokiol inhibits EMT-mediated motility and migration of human non-small cell lung cancer cells *in vitro* by targeting c-FLIP [J]. Acta Pharmacol Sin, 2016, 37(12): 1574-1586.
- [22] ZOU C, ZHAO P, FU L, et al. $\gamma\delta$ T cells in cancer immunotherapy [J]. Oncotarget, 2017, 8(5): 8900-8909.
- [23] HUANG G, CHEN X, XING C, et al. miR-20a-directed regulation of BID is associated with the TRAIL sensitivity in colorectal cancer [J]. Oncol Rep, 2017, 37(1): 571-578.

收稿日期：2017-04-14

(本文责编：李艳芳)